

## جداسازی یونهای گازی هلیوم از میان ایزوتوپ‌هایش در مناطق اول و سوم پایداری یک فیلتر

### جرمی چهارقطبی

شرافت، شایسته<sup>۱</sup>؛ قلمبرد فولی، عبدالمحمد<sup>۲</sup>

<sup>۱</sup>گروه فیزیک، دانشگاه شهید چمران، اهواز

<sup>۲</sup>گروه فیزیک، دانشگاه شهید چمران، اهواز

### چکیده

در این مقاله، یک فیلتر جرمی چهارقطبی با سطح مقطع هنالولوی طراحی شده است. این فیلتر با استفاده از نرم افزار simion3D version07 شبیه سازی شده و برای عبور یونهای گازی هلیوم در دو منطقه‌ی اول و سوم پایداری این فیلتر بهینه شده است.  $\Delta$ همچنین تأثیر تغییرات شعاع پرتو یونی، انرژی و توزیع زاویه‌ی آنها بر میزان قدرت تفکیک و درصد انتقال یون این فیلتر جرمی در منطقه‌ی اول با پارامترهای مات  $a=0.237$  و  $q=0.706$  و منطقه‌ی پایداری سوم با پارامترهای مات  $a=3.16$  و  $q=3.23$  بررسی شده است.

### Separation of helium gas ions from their isotopes in the first and third stability zones of a quadrupole mass filter

sherafat, shayesteh<sup>1</sup>; Ghalambor dezfooli, abdol mohammad<sup>2</sup>

<sup>1</sup> Department of Physics, Shahid Chamran University, Ahwaz

<sup>2</sup> Department of Physics, Shahid Chamran University, Ahwaz

### Abstract

In this article a quadrupole mass filter with hyperbolic cross section will be designed. This filter has been simulated with simion3D version07 software and has been optimized for transmission of helium gas ions in the first and third stability zones. Also the effect of change in the ion beam reduce, energy and its angular distribution on the resolving power and percentage of transmission efficiency of this mass filter with  $a=0.237$  and  $q=0.706$  parameters in the first stability zone and  $a=3.16$  and  $q=3.23$  parameters in the third stability zone, has been studied.

های متقابل یون-مولکول، پراکنده‌گی‌ها و خنثی‌شدن یون‌ها

مقدمه

جلوگیری می‌کند.<sup>[۱]</sup>

یکی از انواع این طیف سنج‌ها، طیف سنج جرمی چهارقطبی می‌باشد که اولین بار در سال ۱۹۵۳، ولفگانگ پاول فیزیکدان آلمانی و همکارانش در دانشگاه Boon این سیستم را ساخته و یونها را با نسبت جرم به بار آنها جدا کردند.<sup>[۲]</sup> به خاطر خصوصیات بر جسته‌ای که این فیلتر دارد نظری کارایی، قیمت ارزان، وزن سبکتر، زمان رویش سریع و کارکردن در فشارهای نسبتاً بالاتر؛ کاربردهای فراوانی در بسیاری از جمله علوم شیمی،

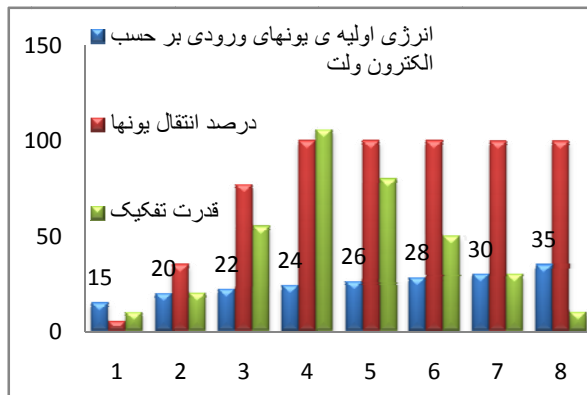
طیف سنج‌های جرمی استفاده‌های بسیار گسترده‌ای در شاخه‌های مختلف علوم دارند و به منظور جداسازی جرم‌های مختلف انتی و مولکولی مورد استفاده قرار می‌گیرند. به طور کلی هر طیف-سنج جرمی، از پنج بخش اساسی تشکیل شده است: سیستم ورودی، محفظه‌ی یونیزاسیون، آنالیزور جرمی، آشکارساز و پمپ خلاء. محفظه‌ی یونیزاسیون، فیلتر جرمی و آشکارساز باید در یک سیستم خلاء قرار بگیرند. زیرا خلاء بالا (فضار پایین)، فاصله‌ی آزاد میانگین ذرات را به بیشترین مقدار خود رسانده و از واکنش-

شخصی می باشد که با زبان برنامه نویسی C نوشته شده و قابلیت مدلسازی مسائل پیچیده اپتیک یونی در ۳ بعد را دارد. نواحی پتانسیل در این نرم افزار با استفاده از حل معادله ای لاپلاس به روش عددی فراواهلهش که یکی از روشهای تفاضل متناهی می باشد، حاصل می شود. اما برای حل معادلات مربوط به مسیر حرکت یونها و شبیه سازی مسیر آنها از انتگرال گیری به روش رونگ کوتاه مرتبه چهارم استفاده می کند<sup>[۵]</sup> در این نرم افزار فشار خلاء  $10^{-12}$  اتور فرض شده است.

### شبیه سازی

فیلتر طراحی شده در این تحقیق دارای سطح مقطع هذلولوی، شعاع میدان ۲ سانتیمتر و طول ۳۲ سانتیمتر بوده و در فرکانس ۶.۵ مگاهرتز برای عبور یونهای گازی هلیوم به جرم  $4.003\text{amu}$  بهینه شده است.

در منطقه ای اول پایداری پارامترهای ماتیو  $a = 3/16$  و  $q = 3/23$  می باشد. انتخاب گردیده اند. درصد انتقال یونهای هلیوم بر حسب تغییرات شعاع پرتو یونی (شکل ۱)، انرژی اولیه ی یونهای ورودی (شکل ۲) و همچنین توزیع زاویه ای پرتو یونی نسبت به محور چهارقطبی (شکل ۳)، مورد محاسبه قرار گرفته است.



شکل ۱: منحنی تغییرات انرژی اولیه ی یونهای ورودی بر حسب درصد انتقال و قدرت تفکیک یونها در منطقه ای اول پایداری

صنعت نفت، فیزیک اتمی و هسته ای به منظور جداسازی ایزوتوپ ها پیدا کرده است و در بسیاری از پژوهشگاه های علمی و صنعتی مورد استفاده قرار می گیرد<sup>[۳]</sup>.

هر فیلتر جرمی چهارقطبی از چهار میله ای موازی با سطح مقطع هذلولوی تشکیل شده است. با اعمال همزمان ولتاژ های مستقیم و تناوبی به آنها، یک میدان هذلولوی تقریباً ایده آل در فضای بین میله ها ایجاد می شود. به طوریکه پتانسیل ایجاد شده در فضای بین میله ها از رابطه  $x$  زیر تعیت می کند:

$$\phi = [U + V \cos(\omega t)] \left( \frac{x^2}{r_+^2} - \frac{y^2}{r_-^2} \right) \quad (1)$$

I. شعاع میدان، یعنی فاصله ای بین محور چهارقطبی و نزدیکترین نقطه روی الکترود ها،  $U$  ولتاژ مستقیم و  $V$  دامنه ای ولتاژ تناوبی می باشد.

هنگامیکه جریانی از یونها وارد فیلتر چهارقطبی می شود، میدان چهارقطبی روی مسیر حرکت یونهایی که درون فیلتر حرکت می کنند، تأثیر گذاشته و نواحی پایداری را در فضای بین میله ها ایجاد می کند. به طوری که معادلات حرکت آن ها در دو جهت  $x$  و  $y$  از معادله ماتیو زیر پیروی می کند:

$$\frac{d^2 u}{dx^2} + (a_u - 2q_u \cos(2\xi))u = 0 \quad (2)$$

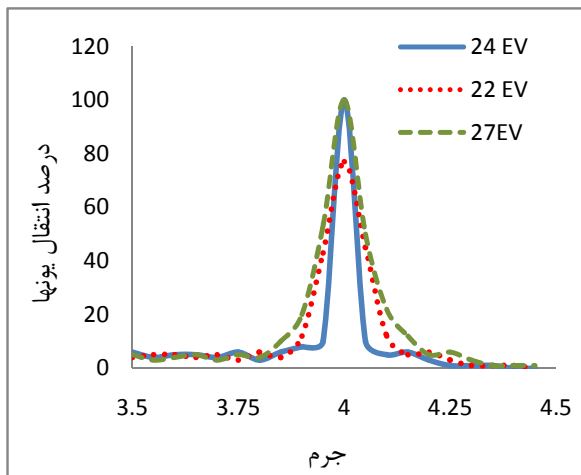
در این رابطه  $u$  می تواند  $x$  یا  $y$  و  $\xi = \omega t/2$  می باشد. و پارامترهای ماتیو  $a_u$  و  $q_u$  به صورت زیر می باشند:

$$a = \frac{\epsilon e U}{m \omega^2 r_+^2} = a_x = -a_y \quad q = \frac{\epsilon e V}{m \omega^2 r_+^2} = q_x = -q_y \quad (3)$$

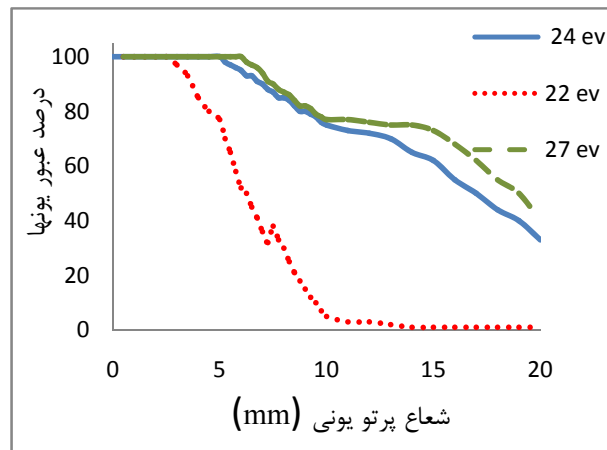
ذراتی که درون ناحیه ای پایدار قرار می گیرند، با یک نسبت جرم به بار مشخص طول چهارقطبی را پیموده و آشکارسازی می شوند. ولی ذرات بیرون از این ناحیه، به میله ها برخورد کرده و خنثی می شوند. به این ترتیب چهارقطبی الکتریکی نظری یک فیلتر جرمی عمل کرده و بعضی از یونها را بسته به نسبت جرم به بار آنها عبور داده و از عبور بعضی ممانعت می کند<sup>[۴]</sup>.

### روش مطالعه

در این مطالعه به منظور طراحی فیلتر جرمی چهارقطبی و شبیه سازی مسیر حرکت ذرات در آن از نرم افزار simion3D استفاده گردیده است. این نرم افزار برای کامپیوتر های version07

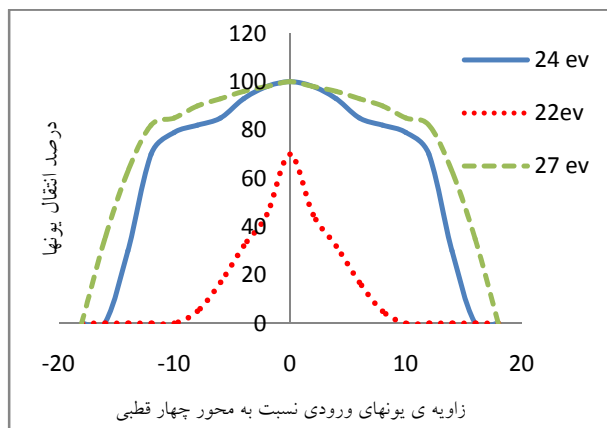


شکل ۴: پیک حاصل از جداسازی یونهای هلیوم گازی به جرم  $4.003 \text{ amu}$  از ایزوتوپهای آن در منطقه ی اول پایداری



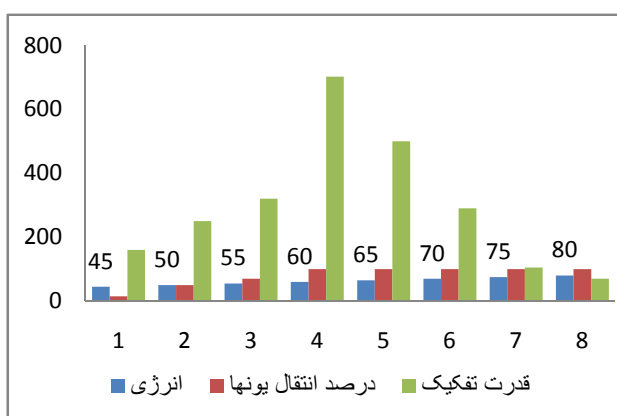
شکل ۲: منحنی تغییرات شعاع پرتو یونی بر حسب درصد انتقال یونها در منطقه ی اول پایداری

با استفاده از پنهانی پیک در نصف عرض ماکزیمم (FWHM)، قدرت تفکیک در این منطقه برای این فیلتر  $10.6 \text{ eV}$  محاسبه شده است. در منطقه ی سوم پایداری، پارامترهای ماتیو  $q = \frac{3}{23}$  و  $a = \frac{3}{17}$  انتخاب شده اند [۶]. در این منطقه نیز درصد انتقال یونهای هلیوم بر حسب تغییرات شعاع پرتو یونی (شکل ۲)، همچنین توزیع زاویه‌ای پرتو یونی نسبت به محور چهارقطبی (شکل ۷)، مورد محاسبه قرار گرفته است. این تغییرات به صورت زیر می باشند:

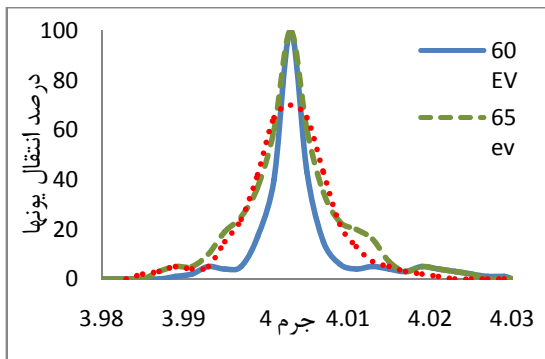


شکل ۳: منحنی تغییرات زاویه ورود یونها نسبت به محور چهارقطبی بر حسب درصد انتقال یونها در منطقه ی اول پایداری

با توجه به شکل های (۱) تا (۳) در می‌باییم که در این منطقه، یونهایی که از یک منبع یونی به شعاع  $5 \text{ mm}$  می‌لیمتر و با انرژی اولیه  $24 \text{ eV}$  الکترون ولت به صورت موازی با محور به این فیلتر جرمی وارد می‌شوند می‌توانند به گونه ای جداسازی شوند که بهترین انتقال را برای این فیلتر ایجاد کنند. به طوریکه سیگنال حاصل از این پارامترها که قابل مشاهده در آشکارساز می‌باشد، در شکل (۴) نمایش داده شده است. این شکل همچنین شامل سیگنال حاصل از پارامترهای متفاوت انرژی نیز می‌باشد.



شکل ۵: منحنی تغییرات انرژی اولیه ی یونهای ورودی بر حسب درصد انتقال یونها و قدرت تفکیک این فیلتر در منطقه ی سوم پایداری

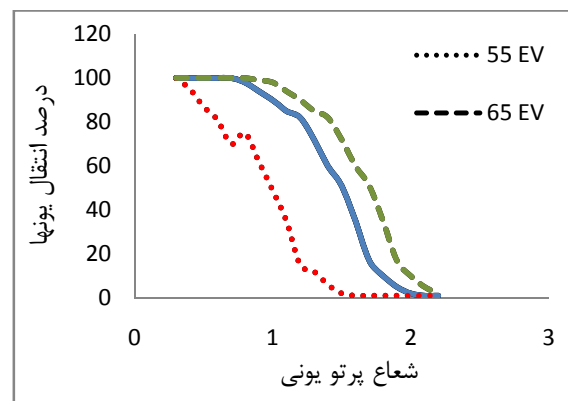


شکل ۸: پیک حاصل از جداسازی یون هلیوم گازی به جرم ۴.۰۰۳ amu از ایزوتوپهایش در منطقه‌ی سوم پایداری

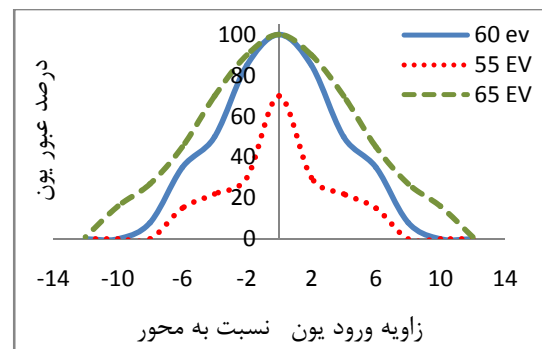
عناصر سبک از جمله هلیوم است. از طرفی، با توجه به شکل - های (۵) و (۶) و (۷) نتیجه می‌گیریم که چنانچه منطقه‌ی سوم پایداری به جهت قدرت تفکیک بالاتر برای هلیوم و یا عناصر سبک مورد استفاده قرار گیرد، بایستی منبع تولید یونها دارای مشخصات زیر باشد: (۱) بسیار متغیر (۲) انرژی بالا (۳) توزیع زاویه‌ای محدود حول محور چهار قطبی داشته باشد. زیرا در این منطقه ولتاژ تناوبی بسیار بیشتر از منطقه‌ی اول بوده و پرتوهایی که از محور دور می‌باشند، تحت تاثیر این ولتاژ منحرف شده و به الکترودها برخورد می‌کنند و ختی می‌شوند. به همین جهت معمولاً محققان در کارهای تجاری از منطقه‌ی اول پایداری استفاده می‌کنند.

#### مرجع‌ها

- [۱] H. J. Gross; “*Mass Spectrometry a Textbook*”; Springer. (2004)
- [۲] W. Paul and H. Steinwedel; “Ein neues massenspektrometer ohne Magnetfeld”; *Zeitschrift für Naturforschung*, **8a** (1953) 448.
- [۳] O. Shimizu et al. “isotopic measurement of Re, Os, Ir and Rn by quadrupole negative thermal ionization mass spectrometry”; *J. Mass Spectrom. Soc. Jpn.*, **52**; No. 4(2004)189-195.
- [۴] E. Hoffmann; “*Mass Spectrometry: Principles and Application*”; 3<sup>rd</sup> edition; Wiley . (2007)
- [۵] H. Lai et al. “The predictive power of SIMION/SDS simulation software for modeling ion mobility spectrometry instruments”; *International Journal of Mass Spectrometry*, **276** (2008) 1–8.
- [۶] T. J. Hogan and S. Taylor; ‘Performance simulation of a quadrupole mass filter operating in the first and third stability zones’; *IEEE TRANSACTIONS ON INSTRUMENTATION AND MEASUREMENT* **57**; NO.3 (2008) 498-508.



شکل ۶: منحنی تغییرات شعاع منبع یونی (mm) بر حسب درصد انتقال یونها در منطقه‌ی سوم پایداری



شکل ۷: منحنی تغییرات زاویه ورود یونها نسبت به محور چهارقطبی بر حسب درصد انتقال یونها در منطقه‌ی سوم پایداری

شکل های (۵) تا (۷) نشان می‌دهند که در این منطقه هنگامی که یونهایی با انرژی ۶۰ eV از یک منبع یونی به شعاع ۷mm و در جهت موازی با محور فیلتر به این سیستم وارد شوند، درصد انتقال برای فیلتر ۱۰۰٪ می‌شود. سیگنال حاصل از این پارامترها، در شکل (۸) نمایش داده شده است. با توجه به این سیگنال، در این منطقه قدرت تفکیک این فیلتر ۷۰٪ محاسبه شده است.

#### نتیجه گیری

از مقایسه‌ی شکل های (۴) و (۸) در می‌یابیم که در منطقه‌ی سوم پایداری قدرت تفکیک خیلی بیشتر از منطقه‌ی اول می‌باشد و لذا این منطقه دارای ویژگی خاصی برای فیلتر نمودن